

ДИПОЛЬНЫЕ МОМЕНТЫ И ВЗАИМНЫЕ ОРИЕНТАЦИИ МОЛЕКУЛ ЖИДКИХ НОРМАЛЬНЫХ УГЛЕВОДОРОДОВ

A.A. Ашеко

Харьковский государственный университет
310077, Харьков, пл. Свободы, 4.

С помощью экспериментальных данных о диэлектрических параметрах десяти жидких н-алканов от пентана до тетрадекана определены величины эффективных дипольных моментов молекул, ответственных за релаксационное поглощение электромагнитной энергии в микроволновом диапазоне длин волн. Проанализированы зависимости

величин $P_{\text{эфф}}^*$ от длины углеводородной цепи и от температуры. Показано, что с ростом температуры изменяется индуцированная составляющая эффективного дипольного момента молекул жидких алканов, которая зависит от числа межмолекулярных С-Н...С связей и взаимных ориентаций молекул.

Результаты выполненных нами исследований комплексной диэлектрической проницаемости $\epsilon^* = \epsilon' - j\epsilon''$ ряда жидких насыщенных углеводородов: н-пентана, н-тексана, н-гептана, н-октана, н-нона, н-декана, н-ундекана, н-додекана, н-тридекана и н-тетрадекана в микроволновом диапазоне длин волн приведены в работах [1,2]. Исследования выполнены на частотах 9.5 ГГц, 36.1 ГГц и 48.9 ГГц в интервале температур 213-333 К. Контроль степени чистоты объектов исследования и влияние примесей на результаты измерений описаны в [1,2]. Все изученные в [1,2] жидкие углеводороды обнаруживают в исследованном частотном диапазоне релаксационную полосу поглощения электромагнитных волн. Во всех случаях в пределах ошибок опыта релаксационный процесс описывается одним временем дипольной релаксации τ_{PT} [2].

По данным о значениях ϵ' , ϵ'' и τ_{PT} [1,2] нами расчитаны величины эффективных электрических дипольных моментов молекул исследованного в [1,2] ряда жидких углеводородов. Расчет проводился по формуле:

$$\left\langle (P_{\text{эфф}}^*)^2 \right\rangle = \epsilon' \cdot \frac{27kTW}{4\pi N_A} \cdot \frac{\rho}{(\epsilon'' + 2)^2} \cdot \frac{1}{\omega \tau_{PT}} \cdot \frac{1 + (\omega \tau_{PT})^2}{\omega \tau_{PT}}, \quad (1)$$

полученной в результате совместного решения уравнений Дебая и Онзагера относительно $\langle (P_{\text{эфф}}^*)^2 \rangle$ [3,4]. В уравнении (1) : w/ρ – молярный объем, значения плотности ρ взяты из работы [5]; N_A – число Авогадро, k – постоянная Больцмана, w – круговая частота.

В табл. 1 представлена зависимость величин $P_{\text{эфф}}^*$ исследованных жидких н-алканов от температуры. Случайная ошибка в определении величины $P_{\text{эфф}}^*$ не превышает ± 0.001 Д. Расчет проводился для трех значений ϵ'' , полученных на частотах 9.5 ГГц, 36.1 ГГц и 48.9 ГГц. Величины электрических дипольных моментов во всех трех случаях совпадают в пределах ошибок опыта.

Можно отметить, что дипольные моменты молекул жидких алканов в отличие от газообразных [6] растут в гомологическом ряду от пентана до ундекана. Для последующих н-алканов с числом атомов углерода в углеводородной цепи $n_c \geq 12$ наблюдается тенденция к уменьшению $P_{\text{эфф}}^*$.

Таблица 1. Величина эффективных электрических дипольных моментов $P_{\text{эф}}^*$ исследованных алканов при температурах 213 - 333 К

| Вещество | 213 К | 233 К | 253 К | 273 К | 293 К | 313 К | 333 К |
|--------------|-------|-------|-------|-------|-------|-------|-------|
| н-пентан | 0.081 | 0.077 | 0.074 | 0.072 | 0.071 | - | - |
| н-гексан | 0.063 | 0.066 | 0.068 | 0.071 | 0.079 | 0.087 | - |
| н-гептан | 0.081 | 0.081 | 0.081 | 0.082 | 0.082 | 0.082 | 0.081 |
| н-октан | - | 0.079 | 0.081 | 0.083 | 0.084 | 0.084 | 0.086 |
| н-нонан | - | 0.085 | 0.088 | 0.090 | 0.090 | 0.091 | 0.091 |
| н-декан | - | - | 0.099 | 0.102 | 0.103 | 0.103 | 0.104 |
| н-ундекан | - | - | 0.107 | 0.113 | 0.114 | 0.114 | 0.113 |
| н-додекан | - | - | - | 0.106 | 0.109 | 0.112 | 0.109 |
| н-тридекан | - | - | - | - | 0.100 | 0.101 | 0.101 |
| н-тетрадекан | - | - | - | - | 0.104 | 0.106 | 0.106 |

Из табл.1 видно, что с ростом температуры исследуемых жидких углеводородов изменяется величина эффективного электрического диполя молекул. Наиболее существенное изменение величины $P_{\text{эф}}^*$ в рассматриваемом интервале температур происходит вблизи точек плавления и кипения.

Для н-алканов от октана до тетрадекана при повышении температуры от точки плавления на 30-60 К наблюдается рост эффективного дипольного момента молекул. При дальнейшем повышении температуры до 333 К величина $P_{\text{эф}}^*$ в пределах ошибок опыта остается постоянной. Для н-пентана и н-гексана изменение дипольного момента наблюдается вблизи точки кипения. Единственный объект, для которого не наблюдается изменение эффективного дипольного момента с ростом температуры в рассматриваемом интервале — это гептан. Однако можно заметить, что температура 213 К лежит на ~30 К выше точки плавления, а температура 333 К на ~40 К ниже точки кипения.

Отметим, что исследование температурной зависимости эффективного электрического дипольного момента молекул н-алканов в газовой фазе, выполненные расчетным способом [6], показали, что для газовой фазы значения $P_{\text{эф}}^*$ в рассматриваемом интервале температур постоянны, либо их изменения не превышают ошибок определения.

Существенное отличие величин дипольных моментов, полученных расчетным способом для газовой фазы [6] и экспериментально определенных для жидкости, а также различный вид зависимости их от температуры и от длины углеводородной цепи (рис.1) свидетельствуют о различной природе электрических дипольных моментов н-алканов в жидкой и газовой фазах.

Молекулы насыщенных углеводородов в газовой фазе обладают постоянным дипольным моментом, существующим вследствие неполной взаимной компенсации электрических диполей отдельных С-С и С-Н связей [7].

В жидком состоянии эффективный электрический дипольный момент молекул углеводородов, как и других веществ, представляет собой векторную сумму постоянной и индуцированной составляющих [4] и, кроме того, зависит от взаимной ориентации молекул. Индуцированная составляющая электрического диполя молекул жидких углеводородов обусловлена, главным образом, межмолекулярными связями типа С-Н...С, образование ко-

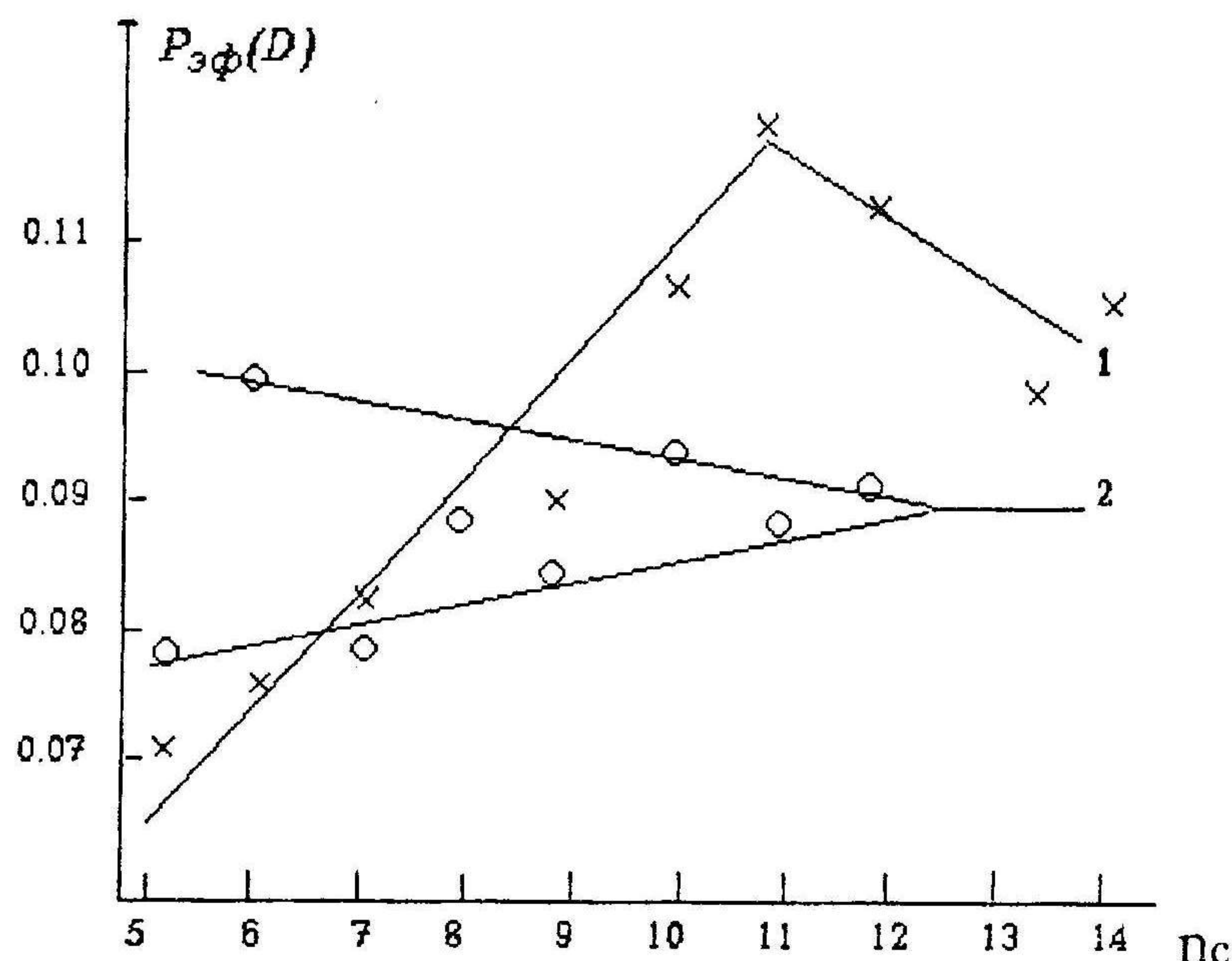


Рис.1. Зависимость $P_{\text{эф}}$ от n_c : 1 — $P_{\text{эф}}^*$, 2 — $P_{\text{эф}}^{\text{г}}$ [6].

дипольных моментов молекул в интервале температур наряду с результатами расчета равновесных концентраций конформеров [8] позволяют рассмотреть возможную структуру исследованных жидких углеводородов.

Отметим, что при высоких температурах и не слишком высоких давлениях жидкая фаза проявляет сходство с газообразной. При температурах близких к температуре плавления, жидкость, наоборот, обнаруживает тенденцию к строению и свойствам кристаллических тел. Так, рентгенографические методы анализа показывают, что расположение частиц в жидкости при температурах, близких к кристаллизации, не беспорядочно, как в газах, но оказывается весьма сходным с правильным расположением, в которое оно переходит при кристаллизации. Наиболее выражено эта тенденция проявляется для органических веществ с вытянутыми молекулами и интерпретируется авторами как сохранение при плавлении кристаллического тела некоторой степени ближнего порядка в относительном расположении частиц при ликвидации дальнего порядка [9]. При повышении температуры расположение молекул относительно друг друга в жидкости становится все более хаотичным и по мере приближения к температуре кипения взаимные ориентации становятся почти такими же разупорядоченными, как в газе. Исходя из сказанного, ясно, что перестройка структуры жидкости, т.е. изменения во взаимной ориентации молекул, наиболее заметно происходит по мере приближения к критическим температурам.

Можно предположить, что отмеченные выше изменения величины эффективных дипольных моментов молекул жидких н-алканов с ростом температуры есть результат такой перестройки.

Данные о $P_{\text{эф}}^*$ и $P_{\text{эф}}^{\text{г}}$ позволяют определить величину фактора корреляции взаимных ориентаций дипольных моментов молекул в исследованных жидкостях:

$$g = (P_{\text{эф}}^*)^2 / (P_{\text{эф}}^{\text{г}})^2.$$

Результаты расчетов приведены на рис.2.

Как и следовало ожидать, значения фактора корреляции изменяются с ростом температуры вблизи точек плавления или кипения.

Относительно зависимости фактора g от длины углеводородной цепи можно отметить, что в исследованном ряду алканов для н-пентана и н-гексана $g < 1$, для н-гептана и н-октана

торых, как известно, сопровождается перераспределением электронной плотности и, следовательно, изменением поляризации системы.

Поскольку постоянный дипольный момент молекул н-алканов в газовой фазе практически не зависит от температуры [6], то можно предположить, что для жидких углеводородов с изменением температуры изменяется именно индуцированная составляющая дипольного момента молекул, которая зависит от числа связей С-Н...С и взаимных ориентаций молекул.

Полученные экспериментально для жидкостей $P_{\text{эф}}^*$ и расчетным способом для газовой фазы $P_{\text{эф}}^{\text{г}}$ [6] данные о значениях эффективных

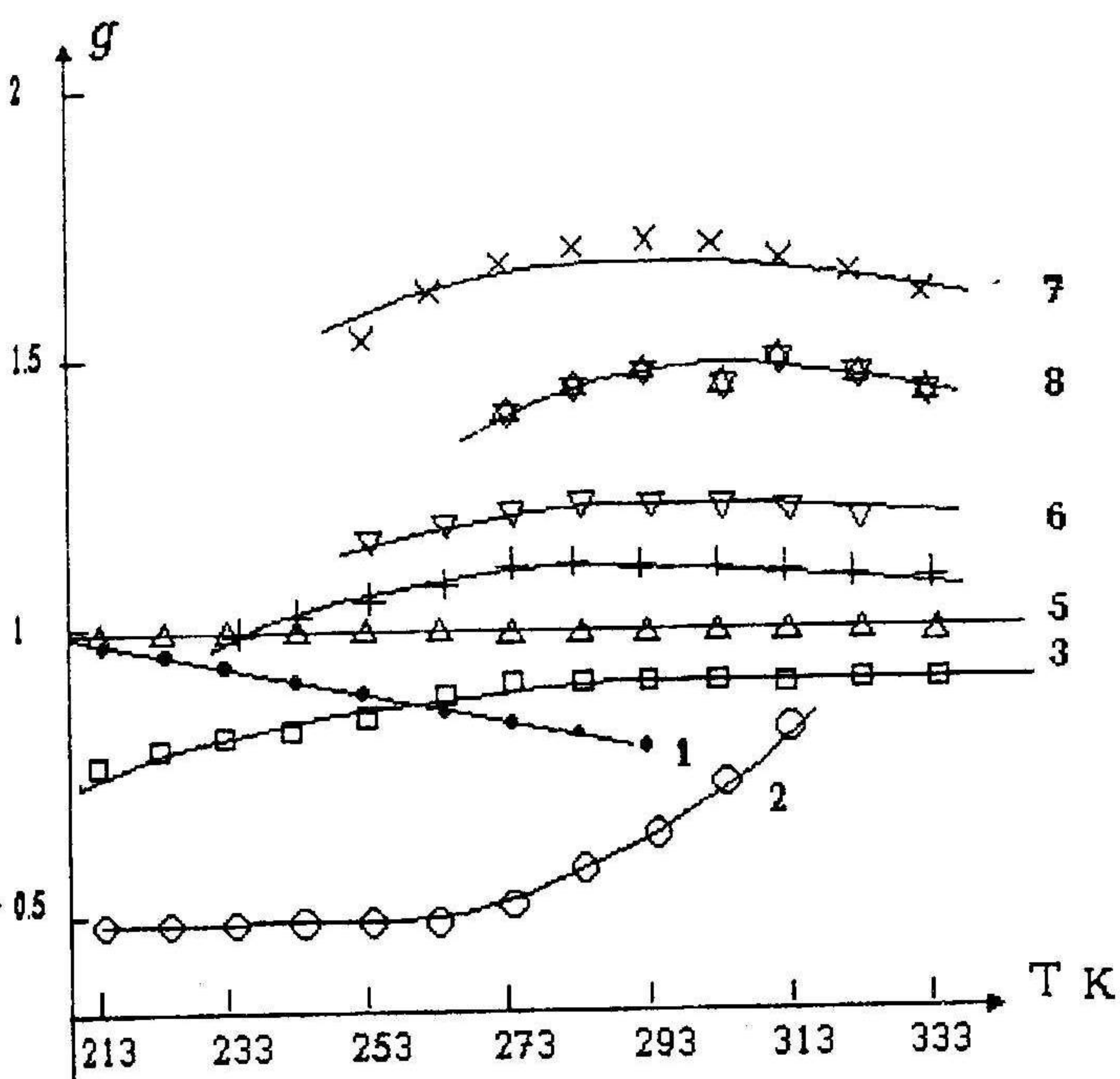


Рис.2. Зависимость фактора g от температуры:
1 – пентан, 2 – гексан, 3 – гептан, 4 –
октан, 5 – нонан, 6 – декан, 7 – ундекан,
8 – додекан

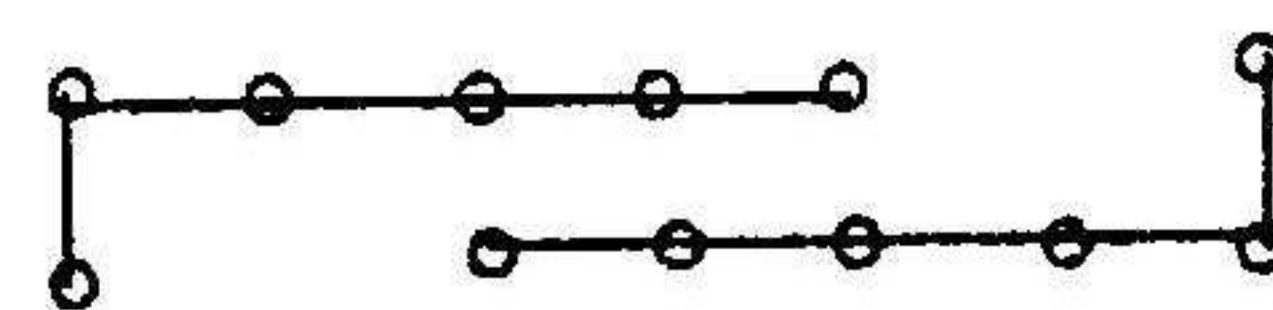
$g \approx 1$, для исследованных алканов с числом атомов углерода $n_c \geq 9$ величина $g > 1$. Величина фактора корреляции $g < 1$ означает, что в жидкости молекулы имеют тенденцию к такому взаимному расположению, при котором их дипольные моменты противонаправлены. Значение $g > 1$ свидетельствует о тенденции к параллельному расположению диполей. Близок к единице фактор в трех случаях: 1) дипольные моменты в жидкости проявляют тенденцию к взаимно перпендикулярному расположению; 2) расположение диполей хаотично; 3) параллельные и антипараллельные ориентации диполей равновероятны [3].

В случае нормальных углеводородов тенденция к параллельной или антипараллельной ориентации диполей может иметь место, если в жидкости присутствуют локально упорядоченные области параллельно ориентированных молекул или их фрагментов. Области с

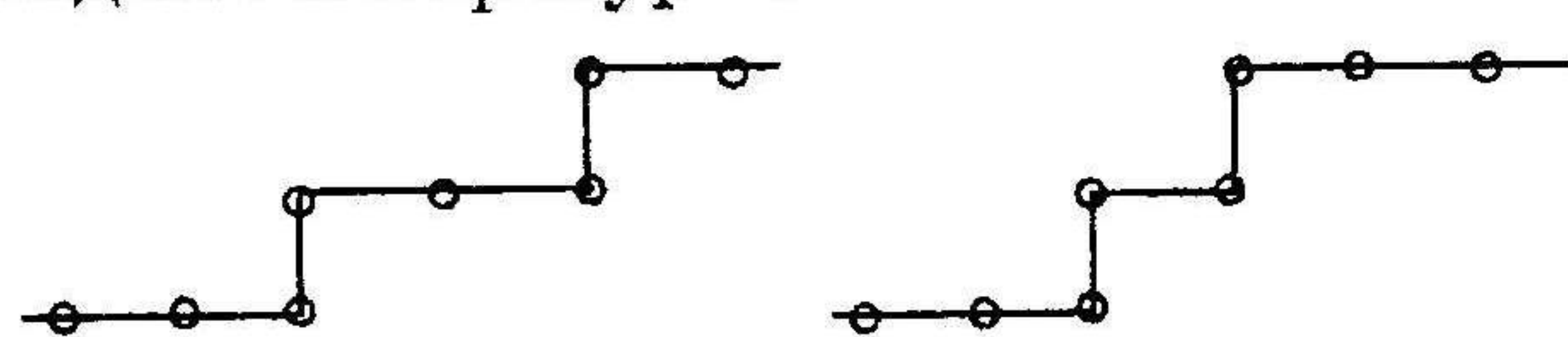
параллельной ориентацией молекул представляют собой флуктуации структуры. Из данных о значениях фактора g (рис.2) следует, что флуктуации структуры в случае н-пентана и н-гексана приводят преимущественно к антипараллельной взаимной ориентации дипольных моментов молекул. Этот факт можно объяснить, исходя из структуры наиболее устойчивых конформеров. В равновесной смеси молекул н-пентана преобладают конформеры TG (~80%), а в смеси молекул н-гексана – конформеры TTG (~60%) [8].



Поэтому становятся более вероятны ориентации молекул, приводящие к антипараллельной взаимной ориентации дипольных моментов, например, такие:



С удлинением углеводородной цепи увеличивается число скошенных конформаций, т.е. в этих объектах преобладают конфигурации типа:



С другой стороны с ростом n_c снижается подвижность молекул. Это, по-видимому, позволяет сохранять тенденцию к параллельной ориентации отдельных фрагментов молекул с параллельной взаимной ориентацией диполей.

В н-гептане и н-октане ($n_c = 7, 8$), согласно нашим данным о значениях фактора g , параллельные и антипараллельные ориентации диполей соседних молекул практически равновероятны.

В отношении высших алканов с $n_c \geq 12$ можно сказать следующее. В [6] отмечено, что начиная с $n_c = 12$ дипольный момент молекул в газовой фазе не меняется с ростом n_c . Диполь-

ный момент молекул в жидкой фазе для н-алканов с $n_c \geq 11$ с ростом n_c уменьшается и приближается к значению $P_{\text{эф}}^*$. Следовательно, с дальнейшим увеличением длины углеводородной цепи значение фактора корреляции g должно стремиться к единице. Это означает, что дипольные моменты молекул высших парафиновых углеводородов в жидкой фазе ориентированы хаотично, что согласуется с моделью статистических клубков для алканов с $n_c > 12$ [10,11].

ЛИТЕРАТУРА

- [1] А.А.Ашеко, О.И.Иванова, М.И.Шахпаронов. ЖФХ, 1985, №4, с.1006.
- [2] О.И.Иванова., М.И.Шахпаронов, Т.М.Усачева, А.А.Ашеко Деп №7959 – 84 ВИНТИ. – 11с.
- [3] Г.Фрелих. Теория диэлектриков. Москва.Иностр.лит.,1960, 240 с.
- [4] А.А.Ашеко, М.И.Шахпаронов, Т.М.Усачева. ЖФХ, 1986, №2, с.465.
- [5] Физико-химические свойства индивидуальных углеводородов. Под ред. В.М.Татевского. Москва, Госнефтеиздат,1960, 412 с.
- [6] А.А.Ашеко. Вестник Харьковского университета, 1998, №1301, с.114.
- [7] В.М.Татевский. Строение молекул. Москва,Химия, 1977. 512 с.
- [8] А.А.Ашеко, О.И.Иванова. ЖФХ, 1989, № 11, с. 2888.
- [9] Я.И.Френкель. Кинетическая теория жидкостей. Ленинград, Наука, 1975. 592с.
- [10] П.Флори. Статистическая механика цепных молекул. Москва, Мир, 1971, 440 с.
- [11] П.Г.Халатур, А.С.Павлов, Ю.Г.Папулов. ЖФХ, 1983, т.57, №7, с.1719.